

Rosenzweig-MacArthur 模型的极限解——

描述捕食者与被捕食者相互作用的一种较有普遍意义的方法

易希璋 刘嘉欣

(山东大学光学系) (南开大学物理系)

在 Volterra 模型中，略去了捕食者消耗食饵(被捕食者所花费的时间、显然这不符合实际的生态过程)。描述捕食者——被捕食者相互作用的一种具有比较普遍意义的方法为 Rosenzweig 和 MacArthur (1969) 所建立，考虑方程式

$$\begin{aligned}\dot{x} &= f(x) - y\phi(x), \\ \dot{y} &= -ey + K\phi(x),\end{aligned}\quad (1)$$

其中 $f(x)$ 是没有捕食者时食饵 x 的变化率， e 是捕食者死亡率， K 是食饵转化成捕食者的转化率。可以证明，这一模型的稳定性完全取决于

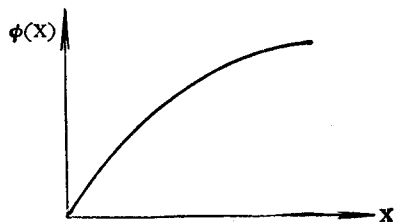


图 1

Holling 所谓的功能性反映曲线 $\phi(x)$ 的形状。图 1 是无脊椎捕食的典型情况，由于考虑到对每一捕获的食饵有一个处理时间， $\phi(x)$ 可写成

$$\phi(x) = \frac{cx}{1+dx} \quad (2)$$

$c > 0, d > 0$ 为常数。上式十分拟合实验室的结果^[1]。 $f(x)$ 仍取作逻辑斯谛型，于是 (1) 式成为

$$\begin{aligned}\dot{x} &= ax - bx^2 - \frac{cxy}{1+dx}, \\ \dot{y} &= -ey + K \frac{cxy}{1+dx},\end{aligned}\quad (3)$$

对 (3) 式的分析结果表明，在一定参数范

围内存在着极限环分支解。正如 Smith 指出的，探讨生态系统的稳定性问题，最有意义的是极限环行动^[1]。但是这种解在通常的分析方法中已经被忽略掉。

一、稳定性分析与极限环的存在性

(3) 式的定态解为

$$\begin{aligned}x_0 &= \frac{e}{Kc - ed}, \\ y_0 &= \frac{1}{c}(1 + dx_0)(a - bx_0),\end{aligned}\quad (4)$$

其动态如图 2。 $\dot{x} = 0, \dot{y} = 0$ 分别为直线 $x = \frac{e}{Kc - ed}$ 与曲线 $y = \frac{1}{c}(1 + dx)(a - bx)$ 。
 $x' = \frac{1}{2} \left(\frac{a}{b} - \frac{1}{d} \right)$ 对应曲线的峰值 $y_{\max} = \frac{1}{2c} \left(a + \frac{b}{d} \right) \left(1 + \frac{ad}{b} \right)$ 由于 x_0, y_0, x' 都必需大于零，则有

$$\begin{aligned}K &> \frac{d}{c} e \equiv \lambda'' e, \\ K &> \frac{ad + b}{ac} e \equiv \lambda' e, \\ ad - b &> 0,\end{aligned}\quad (5)$$

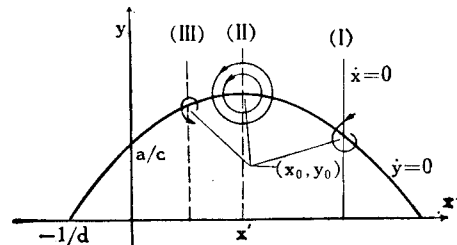


图 2

稳定性判别式为^[2]

$$T = \left[\frac{ad + b}{Kc} - \frac{2b}{Kc - ed} \right] e, \quad (6)$$

$$\Delta = \left[a - \frac{e}{Kc} (ad + b) \right] e,$$

由(5), (6)可得到 $T^2 < 4\Delta$ 。固定参数 a, b, c, d 。调整参数 K, e 可使直线 $x = \frac{e}{Kc - ed}$ 沿 x 轴方向移动。当它在位置(I)时, $T < 0, \Delta > 0$, 相应的定态 (x_0, y_0) 是渐近稳定焦点, 这种状态通常可用来描述生态过程。在位置(II), $T = 0, \Delta > 0, (x_0, y_0)$ 为为中心点。在位置(III), $T > 0, \Delta > 0, (x_0, y_0)$ 为不稳定焦点。这种状态显然不具有任何生态学意义, 因此在通常的分析方法中不予考虑。但是按照分支点理论^[2], 当定态 (x_0, y_0) 从渐近稳定焦点 \rightarrow 中心点 \rightarrow 不稳定焦点时, 在分支点(实际是一条临界线, 见图3)

$$x' = x_0 \quad \text{或} \quad K = \frac{d}{c} \cdot \frac{ad + b}{ad - b} e = \lambda e, \quad (7)$$

上将出现新的状态——极限环分支解, 它不同于原来的不稳定焦点。在 (K, e) 平面上, 系统的稳定性区域分布如图3

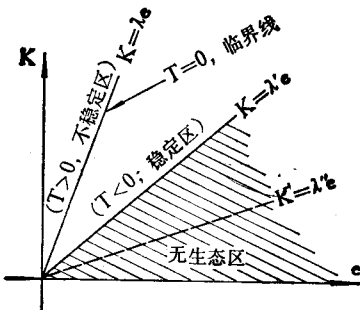


图 3

可以证明, 对于参数 a, b, c, d 的任何值恒有: $\lambda' > \lambda''$ 。另一方面, 为了获得稳定区必需: $\lambda > \lambda'$, 这相当于要求条件

$$b > d(a - 1), \quad (8)$$

成立。

二、构造极限环分支解

既然(3)式的极限环解存在, 因此在分支点附近可将其表示成收敛的富氏级数。为了进

行下面的运算, 这里采用了广义函数意义下的富氏展开式, 见文献^[3]。

$$\begin{pmatrix} x \\ y \end{pmatrix} = \sum_{-\infty}^{\infty} \begin{pmatrix} x_n \\ y_n \end{pmatrix} e^{inx}, \quad x_n^* = x_{-n}, \\ y_n^* = y_{-n} \quad (9)$$

将(9)代入(3)并利用函数组 $e^{inx} (-\infty < n < \infty)$ 的正交性可得到

$$n = 0;$$

$$-i\omega d \sum_{-\infty}^{\infty} nx_n x_{-n} = ax_0 + (ad - b) \sum_{-\infty}^{\infty} x_n x_{-n}$$

$$-bd \sum_{-\infty}^{\infty} \sum_{-\infty}^{\infty} x_n x_{m-n} x_{-m} - c \sum_{-\infty}^{\infty} x_n y_{-n},$$

$$-i\omega d \sum_{-\infty}^{\infty} nx_n y_{-n} = -cy_0 + (Kc - ed) \times \sum_{-\infty}^{\infty} x_n y_{-n},$$

$$n = 1;$$

$$i\omega x_1 + i\omega d \sum_{-\infty}^{\infty} (1 - n) x_n x_{1-n}$$

$$= ax_1 + (ad - b) \sum_{-\infty}^{\infty} x_{1+n} x_{-n}$$

$$-bd \sum_{-\infty}^{\infty} \sum_{-\infty}^{\infty} x_{1+n} x_{m-n} x_{-m}$$

$$-c \sum_{-\infty}^{\infty} x_{1+n} y_{-n},$$

$$i\omega y_1 + i\omega d \sum_{-\infty}^{\infty} (1 - n) y_{1-n} x_n$$

$$= -cy_1 + (Kc - ed) \sum_{-\infty}^{\infty} x_{1+n} y_{-n},$$

$$n = -1;$$

$$-i\omega x_{-1} - i\omega d \sum_{-\infty}^{\infty} (1 + n) x_n x_{-1-n}$$

$$-ax_{-1} + (ad - b) \sum_{-\infty}^{\infty} x_n x_{-1-n}$$

$$-bd \sum_{-\infty}^{\infty} \sum_{-\infty}^{\infty} x_{-n-1} x_{n+m} x_{-m}$$

$$-c \sum_{-\infty}^{\infty} x_n y_{-n-1},$$

$$\begin{aligned} & -i\omega y_{-1} - i\omega d \sum_{-\infty}^{\infty} (1+n)x_n y_{-n-1} \\ & = -ey_{-1} + (Kc - ed) \sum_{-\infty}^{\infty} x_n y_{-n-1}, \\ & \dots \end{aligned}$$

上式是定义在 l_2 空间中的非线性齐次方程组，每一组解对应于 l_2 中的一点^[4]，它的一般解可由计算机作出。为了对极限环解的性质作初步探讨，这里仅考虑一次修正。

$$\begin{aligned} n &= 0; \\ 0 &= ax_0 + (ad - b)x_0^2 - bdx_0^3 - cy_0, \quad (10) \\ 0 &= -ey_0 + (Kc - ed)x_0 y_0 \end{aligned}$$

$$\begin{aligned} n &= 1; \\ i\omega(1+dx_0)\begin{pmatrix} x_1 \\ y_1 \end{pmatrix} &= \begin{pmatrix} a+2(ad-b)x_0-3bdx_0^2-cy_0, & -cx_0 \\ (Kc-ed)y_0, & -e+(Kc-ed)x_0 \end{pmatrix} \\ &\times \begin{pmatrix} x_1 \\ y_1 \end{pmatrix}, \quad (11) \end{aligned}$$

$$\begin{aligned} n &= -1; \\ -i\omega(1+dx_0)\begin{pmatrix} x_{-1} \\ y_{-1} \end{pmatrix} &= \begin{pmatrix} a+2(ad-b)x_0-3bdx_0^2-cy_0, & -cx_0 \\ (Kc-ed)y_0, & -e+(Kc-ed)x_0 \end{pmatrix} \\ &\times \begin{pmatrix} x_{-1} \\ y_{-1} \end{pmatrix}, \quad (12) \end{aligned}$$

由(11), (12)可得到 $x_1^* = x_{-1}$, $y_1^* = y_{-1}$ 。因此只需求解(11)与(12)中的一个方程。例如(11)。将(4)代入(11)得

$$i\omega \begin{pmatrix} x_1 \\ y_1 \end{pmatrix} = \hat{A} \begin{pmatrix} x_1 \\ y_1 \end{pmatrix}, \quad (13)$$

其中

$$\hat{A} = \begin{pmatrix} \left(\frac{ad+b}{Kc} - \frac{2b}{Kc-ed}\right)e, & -\frac{e}{K} \\ aK - \frac{e}{c}(ad+b), & 0 \end{pmatrix}$$

(13)是本征型方程，其本征值为（在分支点附近）

$$\omega^\pm(T) = \frac{1}{i} \frac{1}{2} (T \pm \sqrt{T^2 - 4\Delta})$$

$$\simeq \pm \sqrt{\Delta} = \omega^\pm, \quad (14)$$

对应于 ω^\pm 的本征矢量为

$$\begin{pmatrix} x_1^\pm \\ y_1^\pm \end{pmatrix} = \frac{1}{\sqrt{1+\alpha}} \begin{pmatrix} \frac{1}{\sqrt{2}}(1+i) \\ \sqrt{\frac{\alpha}{2}}(\pm 1\mp i) \end{pmatrix}, \quad (15)$$

$$\text{其中 } \alpha = \frac{\Delta}{K^2 e^2}$$

将(15)代入(9)得到极限环分支解为

$$\begin{aligned} \begin{pmatrix} x^\pm \\ y^\pm \end{pmatrix} &= \begin{pmatrix} x_0 \\ y_0 \end{pmatrix} + \frac{1}{\sqrt{1+\alpha}} \\ &\times \begin{pmatrix} \frac{1}{\sqrt{2}}(1+i) \\ \sqrt{\frac{\alpha}{2}}(\pm 1\mp i) \end{pmatrix} e^{i\omega^\pm t} + \frac{1}{\sqrt{1+\alpha}} \\ &\times \begin{pmatrix} \frac{1}{\sqrt{2}}(1-i) \\ \sqrt{\frac{\alpha}{2}}(\pm 1\pm i) \end{pmatrix} e^{-i\omega^\pm t} \end{aligned} \quad (16)$$

ω^+ , ω^- 分别为两个极限环分支的角频率（一次近似）。

三、结果与讨论

(i) 上述结果表明，当调整参数 K , e 使直线 $x = \frac{e}{Kc-ed}$ 从位置(I) \rightarrow (II) \rightarrow (III) 时，系统中原来的稳定状态将失去稳定性。同时产生两个新的状态（分支），它们是以确定的角频率 $\omega = \sqrt{\Delta}$ 沿相反方向转动的极限环过程。至于系统究竟处于两个可能状态中的哪一个状态，这是一个随机过程，它不可能利用决定论方法来回答^[2]。

(ii) 为了获得稳定区必须有(见(8)式)；
 $b > d(a-1)$,

如果 $a < 1$, 对参数 b , d 的任何取值上式总是被满足的，因此解除了对于参数的限制。但是当 $a > 1$ 时，参数 a , b , c 必须满足(8)，否则系统将不存在稳定区域。

(iii) 当取高于一次的修正时，将得到非线

性的本征型方程。这种方程可以存在着多于两个的本征解，即相应于多个分支解。估计这些分支的振幅可能比一次修正结果的振幅小很多。

本文是在上海生化所徐京华先生及其领导的小组的指导下完成的，顺致谢忱。

- [2] Nicolis, G.: *Self-Organization in Nonequilibrium Systems*, 1977.
- [3] M. J. 莱特希尔：《富里叶分析与广义函数引论》，科学出版社，1965年。
- [4] B. N. 索伯列夫：《泛函数分析概要》，科学出版社，1955年。

〔本文于 1981 年 3 月 20 日收到〕

参 考 文 献

- [1] J. M. 史密斯：《生态学模型》，科学出版社，1979年。

矽尘对肺细胞超微结构和功能影响的研究

殷 玲 豫

(山东省医学科学研究所)

有关矽肺的发病机制问题，国内外曾在矽肺的纤维化，矽肺病理和免疫学方面开展过一些工作。国内目前报道多为体内实验。1970年我们用人胚肺单层细胞培养进行了矽肺药物的筛选，本文在此基础上用体外细胞培养和细胞化学的方法，作了矽尘对肺细胞超微结构和功能影响的观察，以便探讨矽肺的发病问题。

一、实验材料与方法

1. 细胞来源 人胚肺原代细胞。

2. 培养液 小牛血清 20%，0.5% 水解乳蛋白 79% 及抗菌素 1%（内含青霉素 10,000 单位/毫升，与链霉素 10,000 微克/毫升）组成，至于各种溶液的配方详见文献^[1]。为了便于作细胞化学测定，培养液无酚红。

3. 实验细胞的制备 将离体 6 小时以内的人胚用 1:1000 新洁尔灭溶液浸泡洗涤，用 2.5% 碘酒消毒，在无菌室内解剖，取出肺脏置于无菌培养皿中，用 Hank's 液洗涤 2—3 次，剪碎放入无菌三角烧瓶，加 0.25% 胰酶调整 pH 为 7.6—7.8 并用 37°C 水浴消化 20 分钟，取出弃去胰酶，再用 Hank's 液洗去残留的胰酶，去上

清液，用滴管吹打使悬液均匀，之后加入适量培养液，接种于细胞培养皿中，静置在 37°C 温箱中培养 3—4 天，待长成单层后备用。

4. 矽尘配制 矽尘系化学纯，含 SiO₂ 98% 以上，颗粒：1—2 微米，配制于培养液中，每个培养瓶内粉尘浓度分别为 50 微克/毫升，100 微克/毫升，150 微克/毫升。

5. 结果 加入矽尘 48 小时后观察细胞病变及其程度，制备电镜标本并作细胞和培养液化学成分的测定。

6. 肺细胞电镜标本制备 本实验用体外培养单层肺细胞作原位固定包埋，用锇酸蒸气固定，考虑要求切割性能良好，用甲丁酯包埋，在解剖镜下选好标本用瑞典 LKB 4800 型超薄切片机切片，所有超薄切片均用醋酸铀及柠檬酸铅染色，用 Hu-LLA 型电镜（日本日立公司产），作透射观察摄片。

7. 肺细胞化学 细胞总蛋白用 Folin-Ciocalteu 酚试剂测定^[2]。用酪氨酸作标准，并折算出相当于清蛋白之量，糖类用蒽酮法^[3]乳酸用 Barker-Summerson 法^[4]测定。所有数值均以细胞蛋白质 10 毫克为基础。